

中华人民共和国国家标准

GB/T 18238.2—2024

代替 GB/T 18238.2—2002

网络安全技术 杂凑函数 第2部分：采用分组密码的杂凑函数

Cybersecurity technology—Hash-functions—
Part 2: Hash-functions using a block cipher

(ISO/IEC 10118-2:2010, Information technology—Security
techniques—Hash-functions—Part 2: Hash-functions using an
n-bit block cipher, MOD)

2024-09-29 发布

2025-04-01 实施

国家市场监督管理总局
国家标准委员会发布

豪密科技
专用

订单号：0109250410403126 防伪编号：2025-0409-1127-1594-1057 购买单位：豪密科技

目 次

前言	III
引言	V
1 范围	1
2 规范性引用文件	1
3 术语和定义	1
4 符号	1
5 通用模型的使用	2
6 杂凑函数 1	2
6.1 概述	2
6.2 参数选择	3
6.3 填充方法	3
6.4 初始化值	3
6.5 轮函数	3
6.6 输出变换	3
7 杂凑函数 2	3
7.1 概述	3
7.2 参数选择	4
7.3 填充方法	4
7.4 初始化值	4
7.5 轮函数	4
7.6 输出变换	6
8 杂凑函数 3	6
8.1 概述	6
8.2 参数选择	7
8.3 填充方法	7
8.4 初始化值	7
8.5 轮函数	7
8.6 输出变换	9
附录 A (资料性) 初始值和变换 u 的定义	10
附录 B (资料性) 示例	12
参考文献	19

订单号：0109250410403126 防伪编号：2025-0409-1127-1594-1057 购买单位：豪密科技

订单号：0109250410403126 防伪编号：2025-0409-1127-1594-1057 购买单位：豪密科技

豪密科技 专用

前　　言

本文件按照 GB/T 1.1—2020《标准化工作导则 第 1 部分：标准化文件的结构和起草规则》的规定起草。

本文件是 GB/T 18238《网络安全技术 杂凑函数》的第 2 部分。GB/T 18238 已经发布了以下部分：

- 第 1 部分：总则；
- 第 2 部分：采用分组密码的杂凑函数；
- 第 3 部分：专门设计的杂凑函数。

本文件代替 GB/T 18238.2—2002《信息技术 安全技术 散列函数 第 2 部分：采用 n 位块密码的散列函数》，与 GB/T 18238.2—2002 相比，除结构调整和编辑性改动外，主要技术变化如下：

- a) 增加了术语“分组”（见 3.1）；
- b) 增加了杂凑函数的概述（见 6.1）；
- c) 更改散列函数 3 为杂凑函数 2，更改散列函数 4 为杂凑函数 3，并删除散列函数 2（见第 7 章、第 8 章，2002 年版的第 7 章、第 8 章、第 9 章）。

本文件修改采用 ISO/IEC 10118-2:2010《信息技术 安全技术 杂凑函数 第 2 部分：采用 n 位块密码的杂凑函数》。

本文件与 ISO/IEC 10118-2:2010 相比做了下述结构调整：

- 第 7 章对应 ISO/IEC 10118-2:2010 的第 8 章；
- 第 8 章对应 ISO/IEC 10118-2:2010 的第 9 章。

本文件与 ISO/IEC 10118-2:2010 的技术差异及其原因如下：

- 增加了规范性引用文件 GB/T 25069—2022（见第 3 章）；
- 更改了术语“ n 位分组密码”为“分组密码”，删除术语“轮函数”（见第 3 章）；
- 增加了 $D, D_i, H, H_i, IV, L_1, L_2, L_X, n, q, T, X \parallel Y, X \oplus Y, :=, \phi$ ，完善了符号定义（见第 4 章）；
- 删除了 ISO/IEC 10118-2:2010 规定的杂凑函数 2，因该杂凑函数已被发现存在安全问题；并将 ISO/IEC 10118-2:2010 规定的杂凑函数 3 和杂凑函数 4 依次更改为本文件的杂凑函数 2（见第 7 章）及杂凑函数 3（见第 8 章），同时优化了描述逻辑（见第 7 章、第 8 章）；
- 删除了规范性附录 C，因为该附录给出的代码不适用于我国情况。

本文件做了下列编辑性改动：

- 为与我国技术标准体系协调，标准名称更改为《网络安全技术 杂凑函数 第 2 部分：采用分组密码的杂凑函数》；
- 纳入了 ISO/IEC 10118-2:2010/Cor 1:2011；
- 增加了术语“分组”的注（见 3.1）；
- 增加了关于杂凑函数安全性提示的注释（见 7.1、8.1）；
- 更改了 ISO/IEC 第 9 章轮函数中笔误，将“与该杂凑函数相关的 β 的具体定义见 8.1”更改为“与该杂凑函数相关的 β 的具体定义见 7.5”（见第 9 章）；
- 更改了资料性附录 A，使用 SM4 分组密码算法替换了 AES 分组密码算法，以指导 SM4 算法的使用，将表 A.1 中“子函数 i ”更改为“密钥的前 3 位”，将表 A.2 中“子函数 i ”更改为“密钥的前 4 位”（见附录 A）；

订单号：0109250410403126 防伪编号：2025-0409-1127-1594-1057 购买单位：豪密科技

- 更改了资料性附录 B, 使用 SM4 分组密码算法给出了三种杂凑函数的示例(见附录 B);
- 增加了资料性引用文件 GB/T 32907—2016(见附录 B);
- 调整了部分语句(见 7.5、8.5), 为方便阅读, 对部分数据改用表格形式, 并增加了表编号(见附录 B);
- 调整了参考文献。

请注意本文件的某些内容可能涉及专利。本文件的发布机构不承担识别专利的责任。

本文件由全国网络安全标准化技术委员会(SAC/TC 260)提出并归口。

本文件起草单位: 中电科网络安全科技股份有限公司、国家密码管理局商用密码检测中心、中国电子技术标准化研究院、中国科学院软件研究所、中国电子科技集团公司第十五研究所、山东大学、西安西电捷通无线网络通信股份有限公司、中国科学院信息工程研究所、中国科学院大学、北京银联金卡科技有限公司、山东得安信息技术有限公司、华为技术有限公司、格尔软件股份有限公司、智巡密码(上海)检测技术有限公司、北京江南天安科技有限公司、北京信安世纪科技股份有限公司、北京海泰方圆科技股份有限公司。

本文件主要起草人: 张立廷、罗鹏、李彦峰、眭晗、毛颖颖、李艳俊、李世敏、王薇、黄晶晶、张国强、史丹萍、王鹏、孙思维、孙晓峰、杨波、谭亦夫、王秉政、马洪富、曾光、郑强、韩玮、李雪雁、龚晓燕、潘文伦、贾世杰、熊云、张雪、刘赣秦、魏曼。

本文件及其所代替文件的历次版本发布情况为:

- 2002 年首次发布为 GB/T 18238.2—2002;
- 本次为第一次修订。

引言

杂凑函数使用特定的算法将任意长度(通常设有上限)的位串映射到固定长度的位串。采用分组密码的杂凑函数是指:在设计过程中,以分组密码算法(如 SM4 等)为主要部件,通过一定的迭代机制形成的杂凑函数。

GB/T 18238《网络安全技术 杂凑函数》由 3 个部分组成。

- 第 1 部分:总则。目的在于规定杂凑函数的要求和通用模型,用于指导 GB/T 18238 的其他部分。
- 第 2 部分:采用分组密码的杂凑函数。目的在于规定采用分组密码的杂凑函数。
- 第 3 部分:专门设计的杂凑函数。目的在于规定专门设计的杂凑函数。

购买单位: 豪密科技

订单号: 0109250410403126 防伪编号: 2025-0409-1127-1594-1057

豪密科技
专用

豪密科技
专用

网络安全技术 杂凑函数

第2部分：采用分组密码的杂凑函数

1 范围

本文件规定了三种采用(n 位)分组密码的杂凑函数。第一种杂凑函数提供长度不大于 n 位的杂凑值,第二种杂凑函数提供 $2n$ 位的杂凑值,第三种杂凑函数提供 $3n$ 位的杂凑值。

本文件适用于采用分组密码的杂凑函数的设计、开发和检测。

2 规范性引用文件

下列文件中的内容通过文中的规范性引用而构成本文件必不可少的条款。其中,注日期的引用文件,仅该日期对应的版本适用于本文件;不注日期的引用文件,其最新版本(包括所有的修改单)适用于本文件。

GB/T 18238.1—2024 网络安全技术 杂凑函数 第1部分:总则 (ISO/IEC 10118-1:2016, MOD)

注: GB/T 18238.1—2024 被引用的内容与 ISO/IEC 10118-1:2000 被引用的内容没有技术上的差异。

GB/T 25069—2022 信息安全技术 术语

3 术语和定义

GB/T 25069—2022 和 GB/T 18238.1—2024 界定的以及下列术语和定义适用于本文件。

3.1 分组 block

作为一个单位记录或传输的元素序列。

注: 这里的元素是字符、字或记录。

[来源:GB/T 25069—2022,3.354]

3.2 分组密码 block cipher

加密算法在明文分组(即界定了长度的位串)上运算,以此产生密文分组的对称加密系统。

[来源:GB/T 25069—2022,3.161]

4 符号

下列符号适用于本文件。

B^L :当 n 为偶数时, n 位串 B 的最左边的 $n/2$ 位位串;当 n 为奇数时, n 位串 B 的最左边 $(n+1)/2$ 位位串。

B^R :当 n 为偶数时, n 位串 B 的最右边的 $n/2$ 位位串;当 n 为奇数时, n 位串 B 的最右边 $(n-1)/2$ 位位串。

B_i :当 B 是由多个 m 位字构成的序列时, B_i ($i \geq 0$)表示 B 的第 i 个 m 位字。特别地,当 $m=8$

购买单位: 豪密科技

防伪编号: 2025-0409-1127-1594-1057

订单号: 0109250410403126

时, B_i 是 B 的第 i 个字节。

C : 变换 u 的输入。

D : 数据。

D_i : 数据 D 经填充后的第 i 个 n 位分组。

$D_{j,i}$: 输入到轮函数 ϕ 的第 j 轮第 i 个 n 位分组。

E : n 位分组密码算法。

$E_K(P)$: 以明文 P 和密钥 K 作为输入的 n 位分组密码算法 E 的加密运算。

H : 杂凑值。

H_i : 用于存储杂凑运算中间结果的位串, 其长度为 L_2 。

$H_{j,i}$: 轮函数 ϕ 的第 j 轮第 i 个 n 位分组输出。

IV : 初始化值。

K : n 位分组密码算法 E 的密钥。

L_X : 位串 X 的位长度。

L_1 : 输入到轮函数 ϕ 的两个位串中, 第一个位串的位长度。

L_2 : 输入到轮函数 ϕ 的两个位串中, 第二个位串的位长度, 也是轮函数 ϕ 输出值的位长度, 以及初始值 IV 的位长度。

n : n 位分组密码算法 E 的分组长度。

q : 经过填充和分割操作后, 输入数据位串 D 的分组个数。

T : 输出变换, 比如截短。

u 或 u' : 一种变换, 把一个 n 位分组转换为分组密码算法 E 的密钥。

$X \parallel Y$: 按顺序将位串 X 和 Y 连接所构成的位串。

$X \oplus Y$: 位串 X 和位串 Y 的异或(其中 $L_X = L_Y$)。

$::=$: 赋值符号, 表示符号左边的值应与符号右边的值相等。

ϕ : 轮函数。

5 通用模型的使用

第 6 章、第 7 章及第 8 章中规定的杂凑函数提供长度为 L_H 的杂凑值 H , 并且符合 GB/T 18238.1—2024 中规定的通用模型。因此, 对于第 6 章、第 7 章及第 8 章中规定的三个杂凑函数, 只需规定:

——参数 L_1, L_2, L_H ;

——填充方法;

——初始化值 IV ;

——轮函数 ϕ ;

——输出变换 T 。

6 杂凑函数 1

6.1 概述

本章规定的杂凑函数提供长度为 L_H 的杂凑值, 其中 $L_H \leq n$, 推荐 n 不小于 128。

附录 A 给出了初始化值和变换 u 的定义, 附录 B 给出了示例。

注: 参考文献[3]中 9.4.1 介绍了杂凑函数 1。

6.2 参数选择

杂凑函数 1 的参数 L_1 、 L_2 和 L_H 应满足 $L_1 = L_2 = n$, 并且 $L_H \leq n$, 推荐 n 不小于 128。

6.3 填充方法

杂凑函数 1 的填充方法应输出 $q \geq 1$ 个分组 D_1, D_2, \dots, D_q , 其中每个分组 D_j 的长度为 n 位, 并且不同的输入应产生不同的输出。具体填充方法采用 GB/T 18238.1—2024 附录 A 中 A.2 描述的方法 1。即, 在数据串右侧填充一个位“1”, 然后在所得到的位串右侧填充“0”, 尽可能少填充(甚至不填充), 以达到所要求的长度。

6.4 初始化值

杂凑函数 1 的 IV 的选择不属于本文件的范围。 IV 应是一个长度为 n 位的位串, 并且 IV 的值应由杂凑函数的用户协商确定。

6.5 轮函数

轮函数 ϕ 用于产生 H_j , 其输入包括填充后的数据分组 D_j (长度为 $L_1 = n$ 位) 与轮函数前一步的输出 H_{j-1} (长度为 $L_2 = n$ 位), 输出为 H_j (长度为 $L_2 = n$ 位)。

作为轮函数的一部分, 变换 u 将 n 位分组变换成分组密码算法 E 的密钥。变换 u 的定义超出了本文件的范围, 示例见附录 A。

轮函数定义如下, 如图 1 所示。

$$\phi(D_j, H_{j-1}) = E_{K_j}(D_j) \oplus D_j, \text{ 其中 } K_j = u(H_{j-1}), 1 \leq j \leq q, H_0 = IV.$$

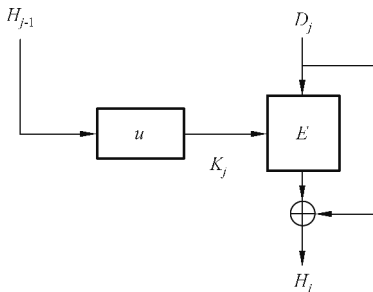


图 1 杂凑函数 1 的轮函数

6.6 输出变换

输出变换 T 是简单的截短操作, 即通过截取最终输出 H_q 的左边 L_H 位得到杂凑值 H 。

7 杂凑函数 2

7.1 概述

本章规定的杂凑函数提供长度为 L_H 的杂凑值, 其中 $L_H = 2n, n$ 为偶数。

B.3 给出了示例。

注 1: 参考文献[4]介绍了杂凑函数 2。

注 2: 参考文献[6][7][8][9]给出了针对杂凑函数 2 的轮函数的密码攻击。当 $n=128$ 时, 找到杂凑函数 2 的轮函数的碰撞的复杂度为 $2^{76.8}$, 找到原像的复杂度为 $2^{170.7}$ 。

订单号: 0109250410403126 防伪编号: 2025-0409-1127-1594-1057 购买单位: 豪密科技

7.2 参数选择

杂凑函数 2 的参数 L_1 、 L_2 和 L_H 应满足 $L_1 = 4n$, $L_2 = 8n$, 且 $L_H = 2n$, 推荐 n 不小于 128。

7.3 填充方法

具体填充方法应采用 GB/T 18238.1—2024 中 A.3 规定的方法 2, 且 $r = n$ 。

7.4 初始化值

杂凑函数 2 的 IV 的选择不属于本文件的范围。 IV 应是一个长度为 $8n$ 位的位串, 并且 IV 的值应由杂凑函数的用户协商确定。

7.5 轮函数

轮函数 ϕ 具有 8 个并行的加密过程, 用于产生 8 个 n 位串 $H_{j,1}, H_{j,2}, \dots, H_{j,8}$ 。

在每次迭代中, 轮函数 ϕ 的输入包括 4 个 n 位数据分组 $D_{j,1}, D_{j,2}, D_{j,3}, D_{j,4}$ (总长度为 $L_1 = 4n$ 位) 与轮函数前一步的输出 $H_{j-1,1}, H_{j-1,2}, \dots, H_{j-1,8}$ (总长度为 $L_2 = 8n$ 位), 输出为 $H_{j,1}, H_{j,2}, \dots, H_{j,8}$ (总长度为 $L_2 = 8n$ 位)。

令 $H_{0,1}, H_{0,2}, \dots, H_{0,8}$ 满足 $H_{0,1} \parallel H_{0,2} \parallel \dots \parallel H_{0,8} = IV$ 。

对 $j=1$ 到 q , 轮函数具有下列形式(见图 2):

$\{(X_{j,1}, X_{j,2}, \dots, X_{j,8}, Y_{j,1}, Y_{j,2}, \dots, Y_{j,8}) := \gamma_1(H_{j-1,1}, H_{j-1,2}, \dots, H_{j-1,8}, D_{j,1}, D_{j,2}, D_{j,3}, D_{j,4})\}$;

对 $i=1$ 到 8, 执行: $H_{j,i} := f_i(X_{j,i}, Y_{j,i})$ 。

轮函数基于线性映射 γ_1 和 8 个函数 f_i , 其中分别使用了线性映射 β 和变换 u , 定义如下。

a) 线性映射 β

线性映射 β 将一个 $2n$ 位串 $X = x_0 \parallel x_1 \parallel x_2 \parallel x_3$ 映射到一个 $2n$ 位串 $Y = y_0 \parallel y_1 \parallel y_2 \parallel y_3$, 具体方式如下:

$$y_0 := x_0 \oplus x_3;$$

$$y_1 := x_0 \oplus x_1 \oplus x_3;$$

$$y_2 := x_1 \oplus x_2;$$

$$y_3 := x_2 \oplus x_3;$$

其中, x_i 和 y_j ($i, j = 0, 1, 2, 3$) 均为 $n/2$ 长的位串。

b) 线性映射 γ_1

γ_1 的输入是 12 个 n 位串 l_1, l_2, \dots, l_{12} , 映射 γ_1 需要 8 个 $2n$ 位辅助串 $R_0, R_1, M_0, M_1, \dots, M_5$ 。

输出包括 8 个 n 位串 X_1, X_2, \dots, X_8 和 8 个 n 位串 Y_1, Y_2, \dots, Y_8 。

映射 γ_1 的运算过程如下(见图 3):

1) 对 $i=0$ 到 5, 执行:{

$$M_i^L := l_{2i+1};$$

$$M_i^R := l_{2i+2};$$

$$M_i := M_i^L \parallel M_i^R \}.$$

2) 令 $R_0 := 0; R_1 := 0$;

对 $i=0$ 到 5, 执行:{

$$B := R_1 \oplus M_i;$$

$$R_1 := R_0 \oplus \beta(B);$$

$$R_0 := B \}.$$

3) 对 $i=1$ 到 8, 执行: $X_i := l_i$ 。

令 $Y_1 := R_0^L; Y_2 := R_0^R; Y_3 := R_1^L; Y_4 := R_1^R;$

对 $i = 1$ 到 4 , 执行: $Y_{4+i} := l_{8+i}$ 。

c) 变换 u

定义 8 个变换 u_1, u_2, \dots, u_8 , 它们的输入为长度为 n 的位串, 输出作为分组密码 E 的密钥。要求对于集合 $\{1, 2, \dots, 8\}$ 中任意两个不同的 i, j , 以及所有 C , 变换 u_1, u_2, \dots, u_8 满足 $u_i(C) \neq u_j(C)$ 。

上述条件可通过固定密钥的特定位而满足。例如, 可将密钥中 3 个位的值分别固定为 000, 001, …, 111。为避免弱密钥或者分组密码互补性等问题, 可对变换 u_i 增加附加条件。

d) 函数 f_i

8 个函数 f_i 定义如下:

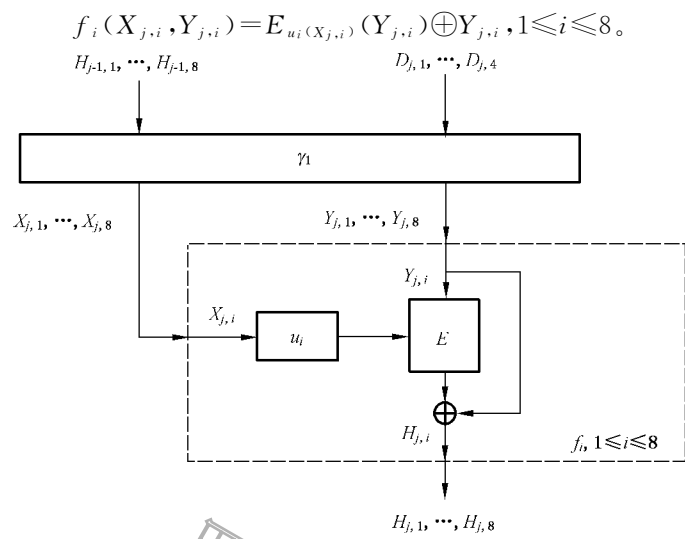
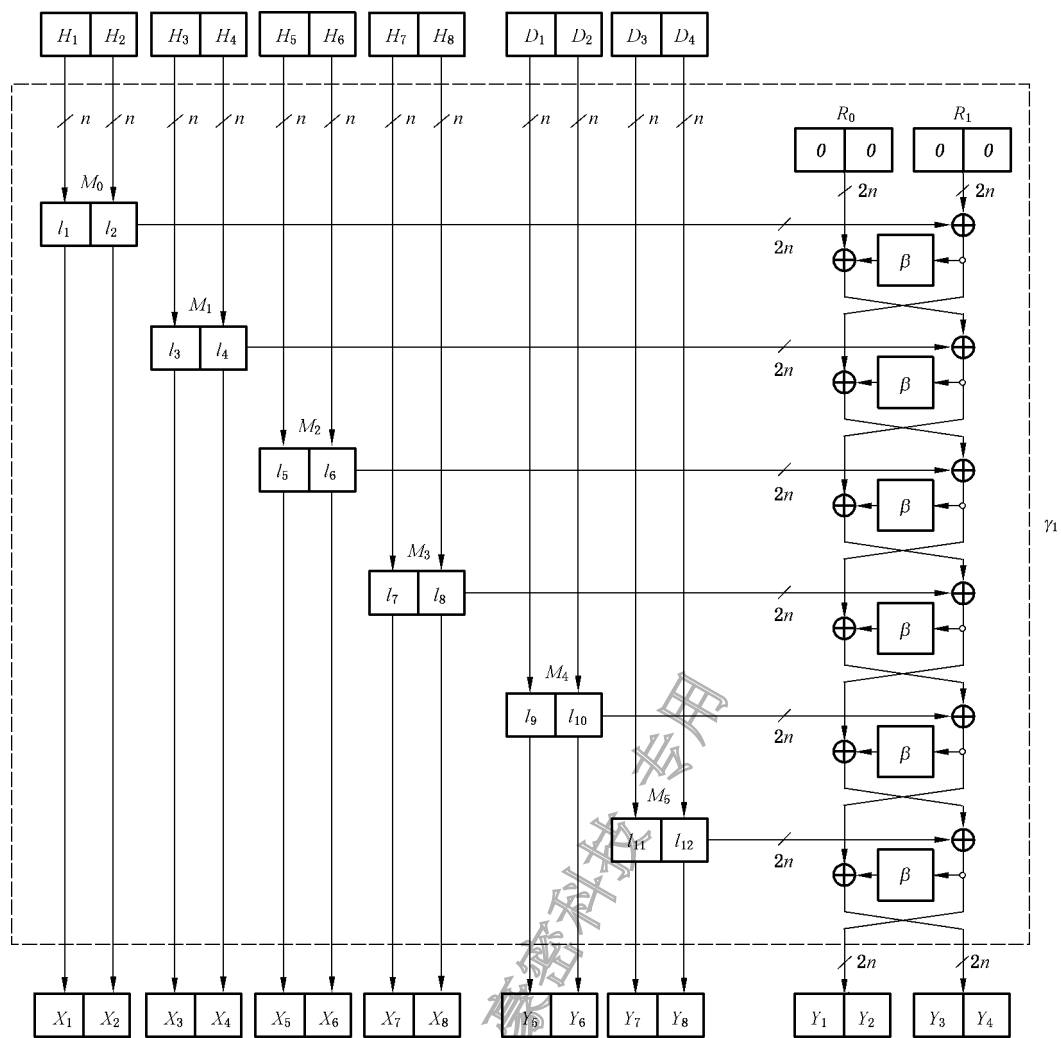


图 2 杂凑函数 2 的轮函数

图 3 杂凑函数 2 的线性映射 γ_1

7.6 输出变换

处理完所填充的消息后,得到 $H_{q,1}, H_{q,2}, \dots, H_{q,8}$ 。然后执行 4 次附加的轮函数迭代,每次输入的 4 个 n 位数据分组分别定义如下:

第 1 次, $D_{q+1,i} = H_{q,i}, 1 \leq i \leq 4$;

第 2 次, $D_{q+2,i} = H_{q,i+4}, 1 \leq i \leq 4$;

第 3 次, $D_{q+3,i} = H_{q,i}, 1 \leq i \leq 4$;

第 4 次, $D_{q+4,i} = H_{q,i+4}, 1 \leq i \leq 4$ 。

杂凑函数的输出 H 由 $H_{q+4,1} \parallel H_{q+4,2}$ 构成。输出变换需进行 26 次加密(最后一次迭代仅需两次加密)。

8 杂凑函数 3

8.1 概述

本章规定的杂凑函数提供长度为 L_H 的杂凑值,其中 $L_H = 3n, n$ 为偶数。

B.4 给出了示例。

注 1: 参考文献[5]介绍了杂凑函数 3。

注 2: 参考文献[6][7][8][9]给出了针对杂凑函数 3 的轮函数的密码攻击。当 $n=128$, 找到杂凑函数 3 的轮函数的碰撞复杂度为 $2^{85.3}$, 找到原像复杂度为 2^{192} 。

8.2 参数选择

杂凑函数 3 的参数 L_1 、 L_2 和 L_H 应满足 $L_1=3n$, $L_2=9n$, 且 $L_H=3n$, 推荐 n 不小于 128。

8.3 填充方法

具体填充方法应采用 GB/T 18238.1—2024 中 A.3 规定的方法 2, 且 $r=n$ 。

8.4 初始化值

杂凑函数 3 的 IV 的选择不属于本文件的范围。IV 应是一个长度为 $9n$ 位的位串, 并且 IV 的值应由杂凑函数的用户协商确定。

8.5 轮函数

轮函数 ϕ 具有 9 个并行的加密过程, 用于产生 9 个 n 位串 $H_{j,1}, H_{j,2}, \dots, H_{j,9}$ 。

在每次迭代中, 轮函数 ϕ 的输入包括 3 个 n 位数据分组 $D_{j,1}, D_{j,2}, D_{j,3}$ (总长度为 $L_1=3n$ 位)与轮函数前一步的输出 $H_{j-1,1}, H_{j-1,2}, \dots, H_{j-1,9}$ (总长度为 $L_2=9n$ 位), 输出为 $H_{j,1}, H_{j,2}, \dots, H_{j,9}$ (总长度为 $L_2=9n$ 位)。

令 $H_{0,1}, H_{0,2}, \dots, H_{0,9}$ 满足 $H_{0,1} \parallel H_{0,2} \parallel \dots \parallel H_{0,9} = IV$ 。

对 $j=1$ 到 q , 轮函数具有下列形式(见图 4):

$\{(X_{j,1}, X_{j,2}, \dots, X_{j,9}, Y_{j,1}, Y_{j,2}, \dots, Y_{j,9}) : = \gamma_2(H_{j-1,1}, H_{j-1,2}, \dots, H_{j-1,9}, D_{j,1}, D_{j,2}, D_{j,3})\}$;

对 $i=1$ 到 9 , 执行: $H_{j,i} := f_i(X_{j,i}, Y_{j,i})$

轮函数基于线性映射 γ_2 和 9 个函数 f_i , 其中分别使用了线性映射 β 和变换 u , 定义如下。

a) 线性映射 β

与该杂凑函数相关的 β 的具体定义见 7.5。

b) 线性映射 γ_2

γ_2 的输入是 12 个 n 位串 l_1, l_2, \dots, l_{12} , 映射 γ_2 需要 9 个 $2n$ 位辅助串 $R_0, R_1, R_2, M_0, M_1, \dots, M_5$ 。

输出包括 9 个 n 位串 X_1, X_2, \dots, X_9 与 9 个 n 位串 Y_1, Y_2, \dots, Y_9 。

映射 γ_2 运算过程如下(见图 5):

1) 对 $i=0$ 到 5 , 执行:{

$M_i^L := l_{2i+1}$;

$M_i^R := l_{2i+2}$;

$M_i := M_i^L \parallel M_i^R \}$ 。

2) 令 $R_0 := 0; R_1 := 0; R_2 := 0$;

对 $i=0$ 到 5 , 执行:{

$B := R_2 \oplus M_i$;

$U := \beta(B)$;

$R_2 := R_1 \oplus U$;

$R_1 := R_0 \oplus U$;

$R_0 := B \}$ 。

密密科技
专用

订单号: 0109250410403126 防伪编号: 2025-0409-1127-1594-1057 购买单位: 密密科技

3) 对 $i=1$ 到 9 , 执行: $X_i := l_i$ 。

令 $Y_1 := R_0^L; Y_2 := R_0^R; Y_3 := R_1^L; Y_4 := R_1^R; Y_5 := R_2^L; Y_6 := R_2^R;$

对 $i=1$ 到 3 , 执行: $Y_{6+i} := l_{9+i}$ 。

c) 变换 u

定义 9 个变换 u_1, u_2, \dots, u_9 , 它们的输入为长度为 n 的位串, 输出作为分组密码 E 的密钥。要求对于集合 $\{1, 2, \dots, 9\}$ 中任意两个不同的 i, j , 以及所有 C , 变换 u_1, u_2, \dots, u_9 满足 $u_i(C) \neq u_j(C)$ 。

上述条件可通过固定密钥的特定位而满足。例如, 可将密钥中 4 个位的值分别固定为 0000, 0001, ..., 1000。为避免弱密钥或分组密码互补特性等问题, 可对变换 u_i 增加附加条件。

d) 函数 f_i

9 个函数 f_i 定义如下:

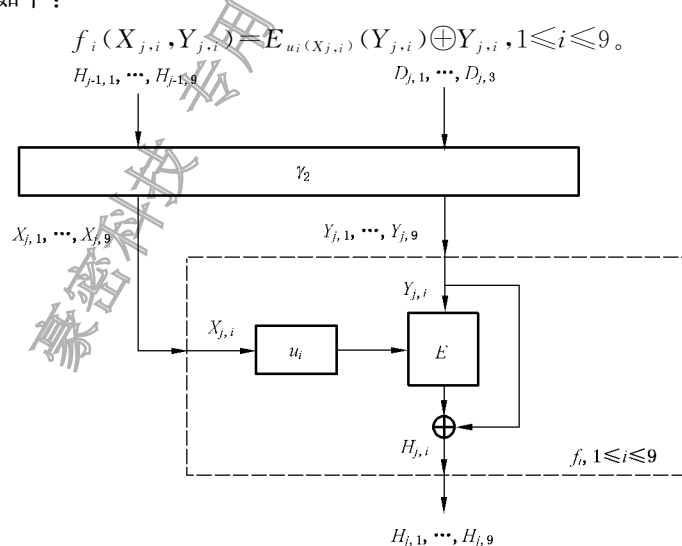
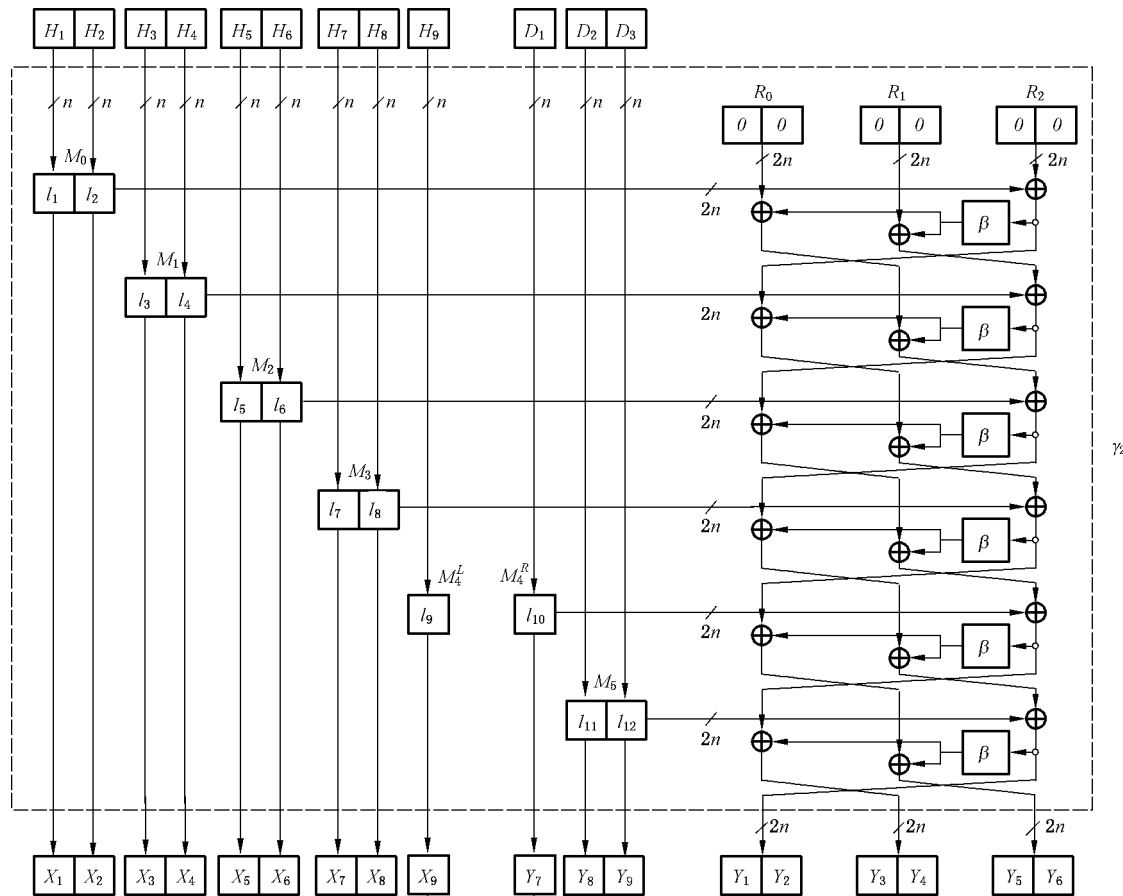


图 4 杂凑函数 3 的轮函数

图 5 杂湊函数3的线性映射 γ_2

8.6 输出变换

处理完所填充的消息后,得到 $H_{q,1}, H_{q,2}, \dots, H_{q,9}$ 。然后执行 4 次附加的轮函数迭代,每次输入的 3 个 n 位数据分组分别定义如下:

第 1 次, $D_{q+1,i} = H_{q,i}, 1 \leq i \leq 3$;

第 2 次, $D_{q+2,i} = H_{q,i+3}, 1 \leq i \leq 3$;

第 3 次, $D_{q+3,i} = H_{q,i+6}, 1 \leq i \leq 3$;

第 4 次, $D_{q+4,i} = H_{q,i}, 1 \leq i \leq 3$ 。

杂湊函数的输出由 $H_{q+4,1} \parallel H_{q+4,2} \parallel H_{q+4,3}$ 构成。输出变换需进行 30 次加密(最后一次迭代仅需要 3 次加密)。

附录 A

(资料性)

初始化值和变换 u 的定义

A.1 概述

本附录提供了一种将 SM4 分组密码算法(见 GB/T 32907—2016)与本文件中规定的杂凑函数联合使用的参数实例。SM4 分组密码算法的参数 $n=128$, 密钥 K 的长度为 128 位。

A.2 杂凑函数 1

IV 等于“52525252525252525252525252525252”(十六进制表示)。

变换 u 的定义方式如下: 定义 $X=x_1x_2\cdots x_{128}$ 为一个 128 位串的二进制分解形式, 则 $Y=u(X)=X$ 。

注: 通常认为寻找轮函数和杂凑函数的碰撞需要执行 2^{64} 次 SM4 加密操作。

A.3 杂凑函数 2

IV_1, IV_2, \dots, IV_8 等于“52525252525252525252525252525252”(十六进制表示)。

变换 u_1, u_2, \dots, u_8 的定义方式如下: 定义 $X=x_1x_2\cdots x_{128}$ 为一个 128 位串的二进制分解形式, $Y=u_i(X)$ 表示将 x_1, x_2, x_3 置为表 A.1 中给定值所得到的位串。

表 A.1 杂凑函数 2 中 8 个子函数中密钥的第 1、2、3 位取值

子函数 i	密钥的前 3 位
1	000
2	001
3	010
4	011
5	100
6	101
7	110
8	111

A.4 杂凑函数 3

IV_1, IV_2, \dots, IV_9 等于“52525252525252525252525252525252”(十六进制表示)。

变换 u_1, u_2, \dots, u_9 的定义方式如下: 定义 $X=x_1x_2\cdots x_{128}$ 为一个 128 位位串的二进制分解形式, 则 $Y=u_i(X)$ 表示将 x_1, x_2, x_3, x_4 置为表 A.2 中给定值所得到的位串。

表 A.2 杂凑函数 3 中 9 个子函数中密钥的第 1、2、3、4 位取值

子函数 i	密钥的前 4 位
1	0000
2	0001
3	0010
4	0011
5	0100
6	0101
7	0110
8	0111
9	1000

豪密科技 专用

购买单位：豪密科技

订单号：0109250410403126 防伪编号：2025-0409-1127-1594-1057

附录 B

(资料性)

示例

B.1 概述

本附录采用 GB/T 32907—2016 规定的分组密码算法给出了使用第 6 章、第 7 章及第 8 章规定的所有杂凑函数计算杂凑值的示例,以及 GB/T 18238.1—2024 附录 A 中规定的填充方法的举例。

根据 GB/T 1988—1998 所规定的七位编码字符^[1],“Now_is_the_time_for_all_”(其中“_”表示空格)的十六进制数据串(无奇偶校验)表示如下:

“4E6F77206973207468652074696D6520666F7220616C6C20”。

B.2 杂凑函数 1

杂凑函数 1 的 IV 和变换 u 见 A.2。

杂凑函数 1 的填充方法采用 GB/T 18238.1—2024 中 A.2 描述的方法^[1]。

表 B.1 给出了杂凑函数 1 的计算示例。

表 B.1 杂凑函数 1 的计算示例

j	D_j	H_{j-1}	H_j
1	4E6F772069732074	5252525252525252	19962A4132D155DA
	68652074696D6520	5252525252525252	150D485598C6E7AA
2	666F7220616C6C20	19962A4132D155DA	64D32559B9166449
	8000000000000000	150D485598C6E7AA	0B3255F75707B994

杂凑值(十六进制):

“64D32559B91664490B3255F75707B994”。

B.3 杂凑函数 2

杂凑函数 2 的 IV 和变换 u 见 A.3。

杂凑函数 2 的填充方法采用 GB/T 18238.1—2024 中 A.3 规定的方法 2,且 $r=n$ 。

表 B.2 给出了杂凑函数 2 的计算示例。

表 B.2 杂凑函数 2 的计算示例

订单号: 0109250410403126 防伪编号: 2025-0409-1127-1594-1057 购买单位: 豪密科技

表 B.2 杂凑函数 2 的计算示例 (续)

$D_{3,1}, D_{3,2}, D_{3,3}, D_{3,4}$	$H_{2,1}, H_{2,2}, H_{2,3}, H_{2,4},$ $H_{2,5}, H_{2,6}, H_{2,7}, H_{2,8}$	$H_{3,1}, H_{3,2}, H_{3,3}, H_{3,4},$ $H_{3,5}, H_{3,6}, H_{3,7}, H_{3,8}$
7E65EC61DD0D8CCF 26F6EA7E0F18CE70 A52E8EE709E61F49 B2E7E1A451EC8FC0 7AF1FD4E58EDF9C2 B4013FAA55D0286C 526E3CBB003BC67B 39C61CAD4B35A280	D025255C0A481635 20AF0388099E7DA0 CDC1BE650099E632 A63C83A0E72797A2 47B805D736D69995 3529A333C1042D5C EA85BD9D380FA87C 97C8810FC788F90B 2B82AA57031E9EB3 37412B93DAC4B1B5 D83895AB41545471 B0330AB03DE0D24D 236BFFA0A5032F9B 026FD58722F4CBC0 86A9A73F93DFEDFF 7681630BBA6F90FD	9FA15EB2B3046E98 E512D833E6EF28A5 A99E9BDFA6B6712B 327AB301AAFEC690 1B901DD4375EC5B9 9635DCEA9FF53442 D0C8D4F3613064E7 728ED1C306CB9E1F 68EC1A727A0648FD BA56D6EFDC1B4127 E9F66BD310B6D073 5C7C3B95D52CB10D 34EAE9628C9A860D 23A3C089A1BCC263 FBB06E6943303A3D C55A571D5D11923F
$D_{4,1}, D_{4,2}, D_{4,3}, D_{4,4}$	$H_{3,1}, H_{3,2}, H_{3,3}, H_{3,4},$ $H_{3,5}, H_{3,6}, H_{3,7}, H_{3,8}$	$H_{4,1}, H_{4,2}, H_{4,3}, H_{4,4},$ $H_{4,5}, H_{4,6}, H_{4,7}, H_{4,8}$
30B6D4AAB4554969 87E5F12CF769F523 3FDBF7F7E321EA69 E362D9A035B05CA4 22CE803AD0AF18AE 9E5A92E2492990DB 20D76978ED8A2309 A52A600CA0C2C1E9	9FA15EB2B3046E98 E512D833E6EF28A5 A99E9BDFA6B6712B 327AB301AAFEC690 1B901DD4375EC5B9 9635DCEA9FF53442 D0C8D4F3613064E7 728ED1C306CB9E1F 68EC1A727A0648FD BA56D6EFDC1B4127 E9F66BD310B6D073 5C7C3B95D52CB10D 34EAE9628C9A860D 23A3C089A1BCC263 FBB06E6943303A3D C55A571D5D11923F	6294465C7D0BCCE6 FB24698833DACFD7 7A1F13EDCB4E5FF5A D65BC30F5409D696 65CE0EDE8DEB3D3A D7F3DD403EC51A2F 5A975116A7A8B2CF B78CB84C194A1A56 AEF6C71C90A68409 79BA0742ABD6202A 867C209558F73C01 A13028CA74ED7FC2 E23248975CC39A79 9A3E3E459E3A43EB 0E95EE60F1316985 8CE066207EB2A1C9

表 B.2 杂凑函数 2 的计算示例 (续)

$D_{5,1}, D_{5,2}, D_{5,3}, D_{5,4}$	$H_{4,1}, H_{4,2}, H_{4,3}, H_{4,4},$ $H_{4,5}, H_{4,6}, H_{4,7}, H_{4,8}$	$H_{5,1}, H_{5,2}, H_{5,3}, H_{5,4},$ $H_{5,5}, H_{5,6}, H_{5,7}, H_{5,8}$
7E65EC61DD0D8CCF 26F6EA7E0F18CE70 A52E8EE709E61F49 B2E7E1A451EC8FC0 7AF1FD4E58EDF9C2 B4013FAA55D0286C 526E3CBB003BC67B 39C61CAD4B35A280	6294465C7D0BCCE6 FB24698833DACFD7 7AF13EDCB4E5FF5A D65BC30F5409D696 65CE0EDE8DEB3D3A D7F3DD403EC51A2F 5A975116A7A8B2CF B78CB84C194A1A56 AEF6C71C90A68409 79BA0742ABD6202A 867C209558F73C01 A13028CA74ED7FC2 E23248975CC39A79 9A3E3E459E3A43EB 0E95EE60F1316985 8CE066207EB2A1C9	47D40AFA02A78BCE ACC4FD8AE5F27630 F3E3E2EADA85CCB09 9C2B6FC7C52EAFC5 C76952EA873747E4 FA8C24F36250F559 F991018E6989DC07 A9608ED223E1489D 4E6DBCC6CC4D1F5D F4A987E25F1D2DAD D2DE2E6E86A03A50 CA5D102F39BD0117 584D1D09BE68047B 8F9261319386B742 58436CDB28534000 60E1EC7E69DC8313

杂凑值(十六进制):

“47D40AFA02A78BCEACC4FD8AE5F27630F3E3E2EADA85CCB09C2B6FC7C52EAFC5”。

B.4 杂凑函数 3

杂凑函数 3 的 IV 和变换 π 见 A.4。

杂凑函数 3 的填充方法采用 GB/T 18238.1—2024 中 A.3 规定的方法 2,且 $r=n$ 。

表 B.3 给出了杂凑函数 3 的计算示例。

表 B.3 杂凑函数 3 的计算示例

表 B.3 杂凑函数 3 的计算示例 (续)

$D_{3,1}, D_{3,2}, D_{3,3}$	$H_{2,1}, H_{2,2}, H_{2,3}, H_{2,4}, H_{2,5}, H_{2,6}, H_{2,7}, H_{2,8}, H_{2,9}$	$H_{3,1}, H_{3,2}, H_{3,3}, H_{3,4}, H_{3,5}, H_{3,6}, H_{3,7}, H_{3,8}, H_{3,9}$
51D11E67CAA959B5 5568CC730AD4346F CAB5378477DBC1F3 5E3556A52A3BB22C 2B3E5E017DF74B0D 8F14A37ADF8D9AD1	3E01644F6ECE0205 E87427D25FB80C97 6CE2AC4EA5DE5EB7 E6DA9DAB83BB8391 D78698B09AA7D63F BF1DBEA4A0902967 B41D779CDD4005A1 C502914148548B9B 5DFBA37C89152CD6 13C8FE2A68F4104D 25A4E0DE43FFE194 C5961FE557763364 94825DFAC3876DD3 7D65838C3FEC1C00 11DC013ED95C7340 69F9F41A9D5D228C 3D83262B6439632B 13DF35EFB919EEC3	7477153B3708AAF4 33768C093B1394EF 57833395C67518AF 79B7F7E974611760 8DABDB420397E6B AF8ECF026058AB10 468B91C18250B7CF AC9652A964267ED5 C6D50BAC97DDF05F C642FCD9E750652A F50B7B76E055AFF7 FD91944FFA3409A7 A5F307830968AEE0 C5F5BD23E632DD3A 3E0B63F8A002AF6B 5EB06C1442406516 8CA62F10882A0AB6 D59014A6BD91C502
$D_{4,1}, D_{4,2}, D_{4,3}$	$H_{3,1}, H_{3,2}, H_{3,3}, H_{3,4}, H_{3,5}, H_{3,6}, H_{3,7}, H_{3,8}, H_{3,9}$	$H_{4,1}, H_{4,2}, H_{4,3}, H_{4,4}, H_{4,5}, H_{4,6}, H_{4,7}, H_{4,8}, H_{4,9}$
151D61100664EE8F 48C3CF9EECD61483 1D5236CCF51AFD69 046A3E80FE13B1E1 4BC39D9BCE716A8A E61AF9EBFE3159DE	7477153B3708AAF4 33768C093B1394EF 57833395C67518AF 79B7F7E974611760 8DABDB420397E6B AF8ECF026058AB10 468B91C18250B7CF AC9652A964267ED5 C6D50BAC97DDF05F C642FCD9E750652A F50B7B76E055AFF7 FD91944FFA3409A7 A5F307830968AEE0 C5F5BD23E632DD3A 3E0B63F8A002AF6B 5EB06C1442406516 8CA62F10882A0AB6 D59014A6BD91C502	93D445A7A38994D3 C136F157C3C03430 2D90B7AAAA86A0AB 260046A3F179EEC6 13CF74B347A103F9 6B043C878916A6C1 2686E0F40F880139 647AAB613C1A95BF A0A4413736983E5C BA1956101043CC36 5FB7D4B6A4E5805A 00186426E667E3E4 7065048E87C6F917 3F423A018160B7B3 6DFD9BB611E1E48B 12D7434ABF4BCF01 C71B2FE97D37B65D 692ED0557E63781F

订单号：0109250410403126 防伪编号：2025-0409-1127-1594-1057 购买单位：豪密科技

表 B.3 杂凑函数 3 的计算示例 (续)

$D_{5,1}, D_{5,2}, D_{5,3}$	$H_{4,1}, H_{4,2}, H_{4,3}, H_{4,4},$ $H_{4,5}, H_{4,6}, H_{4,7}, H_{4,8}, H_{4,9}$	$H_{5,1}, H_{5,2}, H_{5,3}, H_{5,4},$ $H_{5,5}, H_{5,6}, H_{5,7}, H_{5,8}, H_{5,9}$
9A304A9FEF5D406E A932C4D6DCAA3D0C 93F93F3626938154 9DBF1DB758A23E21 1EF73000E65E2A9D 929495B2E2A92ACE	93D445A7A38994D3 C136F157C3C03430 2D90B7AAAA86A0AB 260046A3F179EEC6 13CF74B347A103F9 6B043C878916A6C1 2686E0F40F880139 647AAB613C1A95BF A0A4413736983E5C BA1956101043CC36 5FB7D4B6A4E5805A 00186426E667E3E4 7065048E87C6F917 3F423A018160B7B3 6DFD9BB611E1E48B 12D7434ABF4BCF01 C71B2FE97D37B65D 692ED0557E63781F	DA9A501ACD68F193F5529C4ED9D0C5DA50BEF92A12450BF7E5BE851CE04622A60BBEC4603 EBED88D66E721B89D5473EB F5529C4ED9D0C5DA 50BEF92A12450BF7 E5BE851CE04622A6 0BBEC4603EBED88D 66E721B89D5473EB 1CAD1E24A08674C1 65105E1CB6AB811B 125948258B036BF4 295257051D3AFF17 F70398A361594D51 4AB647B6E68D7874 E6C8D0B35A429699 BDFFE7DE7A52C10 AF8FCB95E9467F34 9D0EDFC767A45B8F E2CA2FD43A271CEE 3D6DEF8BEDB4D28A

杂凑值(十六进制)：

“DA9A501ACD68F193F5529C4ED9D0C5DA50BEF92A12450BF7E5BE851CE04622A60BBEC4603
EBED88D66E721B89D5473EB”。

参 考 文 献

- [1] GB/T 1988—1998 信息技术 信息交换用七位编码字符集
- [2] GB/T 32907—2016 信息安全技术 SM4 分组密码算法
- [3] Alfred Menezes, Paul C. van Oorschot, Scott A. Vanstone. Handbook of Applied Cryptography. CRC Press 1996, Fifth Printing (August 2001).
- [4] Lars R. Knudsen, Bart Preneel. Hash Functions Based on Block Ciphers and Quaternary Codes. ASIACRYPT 1996: 77–90.
- [5] Lars R. Knudsen, Bart Preneel. Fast and Secure Hashing Based on Codes. CRYPTO 1997: 485–498.
- [6] Lars R. Knudsen, Bart Preneel. Construction of secure and fast hash functions using nonbinary error-correcting codes. IEEE Trans. Inf. Theory 48(9): 2524–2539 (2002).
- [7] Onur Özen, Martijn Stam. Collision Attacks against the Knudsen-Preneel Compression Functions. ASIACRYPT 2010: 76–93.
- [8] Onur Özen, Thomas Shrimpton, Martijn Stam. Attacking the Knudsen-Preneel Compression Functions. FSE 2010: 94–115.
- [9] Jooyoung Lee. Provable Security of the Knudsen-Preneel Compression Functions. ASIACRYPT 2012: 504–525.

购买单位：豪密科技

订单号：0109250410403126 防伪编号：2025-0409-1127-1594-1057

⚠ 版权声明

中国标准在线服务网([www.spc.org.cn](#))是中国标准出版社委托北京标科网络技术有限公司负责运营销售正版标准资源的网络服务平台,本网站所有标准资源均已获得国内外相关版权方的合法授权。未经授权,严禁任何单位、组织及个人对标准文本进行复制、发行、销售、传播和翻译出版等违法行为。版权所有,违者必究!

中华人民共和国

国家标准

网络安全技术 杂凑函数

第2部分:采用分组密码的杂凑函数

GB/T 18238.2—2024

*

中国标准出版社出版发行

北京市朝阳区和平里西街甲2号(100029)

北京市西城区三里河北街16号(100045)

网址:[www.spc.net.cn](#)

服务热线:400-168-0010

2024年9月第一版

*

书号:155066·1-77580

购买者:豪密科技
时间:2025-04-09
定 价:49元



GB/T 18238.2-2024

版权专有 侵权必究